——— ГЕОЭКОЛОГИЯ ———

УЛК 621.039.7

МОДЕЛЬ ВЫЩЕЛАЧИВАНИЯ "СОСТАРЕННЫХ" НАТРИЙ-АЛЮМОФОСФАТНЫХ СТЕКЛОМАТРИЦ РАДИОНУКЛИДОВ

© 2021 г. В. И. Мальковский^{1,*}, член-корреспондент РАН С. В. Юдинцев¹

Поступило 12.10.2020 г. После доработки 11.11.2020 г. Принято к публикации 11.11.2020 г.

Высокорадиоактивные отходы ядерной энергетики включают в стеклообразные матрицы для удаления в глубокие подземные хранилища. Распад радионуклидов вызывает разогрев и кристаллизацию остеклованных отходов с ухудшением способности удерживать опасные компоненты. С учетом экспериментальных данных предложена модель растворения в воде закристаллизованного Na—Al— P-стекла для прогноза поведения такой матрицы в хранилище.

Ключевые слова: ядерная энергетика, радиоактивные отходы, изоляция, стекломатрица, раскристаллизация, прогноз устойчивости, теоретическая модель разрушения

DOI: 10.31857/S2686739721020109

Изоляция высокоактивных отходов (ВАО) от переработки отработанного топлива (ОЯТ) является необходимым условием ресурсосберегающего и экологически безопасного топливного цикла ядерной энергетики. ВАО представляют собой азотнокислые растворы с высокими концентрациями радионуклидов [1]. Основным способом обращения с ними признана стратегия отверждения жидких ВАО и подземного захоронения [2—4]. Перевод жидких ВАО в твердое состояние осуществляется включением растворенных компонентов в матрицу-консервант. В нашей стране для этого используется натрий-алюмофосфатное стекло, в остальных странах — боросиликатное [3—6].

Одним из главных требований к матрицам ВАО является долговременная устойчивость в подземных водах после размещения в хранилище [6, 7]. Имеется большое количество данных по интенсивности растворения стеклообразных матриц отходов в нагретых водных растворах в различных условиях [4—7]. Остеклованные ВАО выделяют тепло за счет радиоактивного распада, изза чего их температура существенно повышается. Разогрев стекла приводит к изменению его строения (кристаллизации), этот процесс интенсивно протекает в интервале температуры 450—550°С для алюмофосфатных стекол и 600—700°С для бо-

Для прогноза поведения матриц отходов в хранилище необходимо проанализировать их устойчивость в течение всего времени, пока долгоживущие радионуклиды актинидов и продуктов деления представляют экологическую угрозу для биосферы (до десятков тысяч лет и более). С этой целью на основе полученных ранее данных [10] разработана модель временной зависимости растворения в воде девитрифицированных

росиликатных матриц [4, 5]. В таких условиях полная или частичная девитрификация стекломатриц происходит за время от нескольких часов до первых суток. В среде паров воды с влажностью около 70% температура кристаллизации Na-Al-P-стекла опускается до 250-300°C [8], а сам процесс занимает не более суток (рис. 1). Изменение остеклованных ВАО в горячем влажном воздухе получило название "паровая гидратация", а сами измененные матрицы называют состаренными (или aged в англоязычной литературе) [9]. При контакте таких ускоренно-состаренных матриц с водой содержание в ней плутония, нептуния, урана и имитаторов продуктов деления (Cs) возрастает в десятки и даже тысячи раз по сравнению с растворами, полученными в опытах с неизмененным стеклом [9, 10]. Вода в небольшом количестве попадает в контейнер с остеклованными ВАО до его герметизации на радиохимическом заводе. Контакт паров воды с матрицей может также произойти при разрушении контейнера уже на начальной "сухой" стадии эволюции подземного хранилища, которая может длиться до ста лет после его закрытия и характеризуется температурой от 100 до 140°C [11].

¹ Институт геологии рудных месторождений, петрографии, минералогии и геохимии Российской академии наук, Москва, Россия

^{*}E-mail: malkovsky@inbox.ru

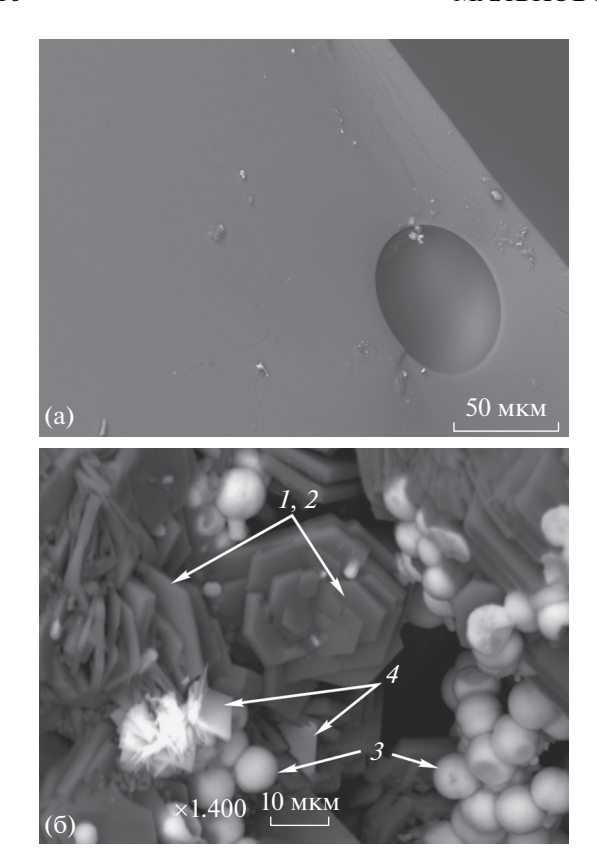


Рис. 1. СЭМ-изображение Na–Al–P-стекла с имитаторами отходов: исходное (а) и после девитрификации в среде пара (б). Цифрами обозначены номера фаз (1-4). Составы фаз 1-4 приведены в табл. 2.

Na-Al-P-стекол. Исходное стекло имеет однородное строение (рис. 1а), если не считать газовые поры, и состав. После суточной обработки паром воды при 300 С происходит его раскристаллизация (рис. 16; табл. 1). Определение интенсивности растворения закристаллизованного Na-Al-P-стекол в воде осуществлялось следующим образом. Монолитные образцы (состава, в мас. %: 17.3 Na₂O; 14.0 Al₂O₃; 51.1 P₂O₅; 5.5 Fe₂O₃; 1.1 NiO; 2.1 SrO; 2.5 Cs₂O; 2.1 Ce₂O₃; 2.0 Nd₂O₃; 2.3 UO_3 ; $\Sigma = 100\%$) помещались в титановый автоклав с фторопластовым вкладышем. Автоклав заполнялся дистиллированной водой, герметично закрывался и помещался в термостат при температуре 90°С. Через определенное время (1, 3, 10 и 30 сут) автоклав извлекался из термостата и охлаждался проточной водой. Раствор из автоклава сливался, и в нем измерялись концентрации продуктов растворения стекла. Затем автоклав с тем же образцом заполнялся дистиллированной водой, герметизировался и помещался в термостат. Концентрации элементов в растворах измерялись методом ICP-MS в ИГЕМ РАН.

Обозначим Δt_i интервал времени между (i-1)-й и i-й заменой раствора. Среднюю скорость рас-

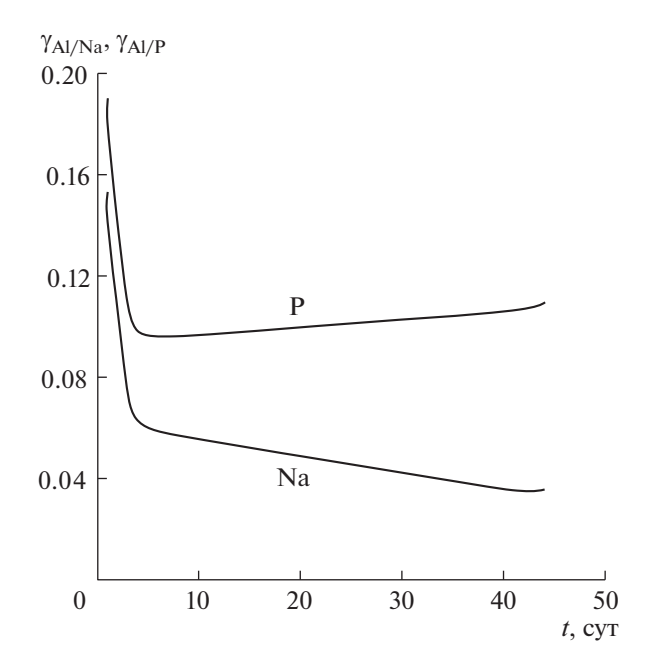


Рис. 2. Интенсивность выщелачивания Al из матрицы по отношению κ Na и P.

творения стекла, нормализованную по элементу E, в интервале времени Δt_i можно оценить по формуле $R_{i,E} = m C_{i,E}/(F_E S \Delta t_i)$, где m — масса раствора в автоклаве, $C_{i,E}$ — массовая концентрация элемента E в растворе, S — площадь поверхности образца, F_E — массовая доля элемента E в стекле.

Если растворение образца осуществляется конгруэнтно, т.е. поверхность его контакта с раствором перемещается параллельно самой себе, то $R_{i,F}$ должны быть одинаковыми для всех E. Однако в большинстве случаев это не так [10, 12], часть этих элементов относительно легко переходит в раствор, а менее растворимые элементы оседают в поверхностном слое матрицы, уменьшая площадь ее контакта с раствором. Для сравнения скорости поступления в раствор элементов E и F, образующих каркас матрицы, удобно использовать количественную характеристику $\gamma_{E/F}(t_n) = R_{n,E}/R_{n,F}$, где $t_n = \sum_{i=1}^n \Delta t_i$. Если $\gamma_{E/F} \ll 1$, то при растворении матрицы элемент F преимущественно поступает в раствор, а элемент E в большей степени оседает в поверхностном слое образца, что замедляет его растворение. Зависимости характеристик $\gamma_{E/F}$ от времени для элементов каркаса стекла (Na, Al и P) после гидратации в паре приведены на рис. 2. Отметим, что Al поступает в раствор гораздо слабее, чем Р и Na. За исключением короткого начального интервала времени величины $\gamma_{Al/P}$ и $\gamma_{Al/Na}$ в течение эксперимента меняются незначительно.

Элемент	Атомные количества элементов в расчете на 10 катионов						
	№ 1 Na–Al-фосфат-1	№ 2 Na-Al-фосфат-2	№ 3 Sr–Ln–U-фосфат	№ 4 Сs-U-фосфат	Исходное стекло		
Na	3.84	2.69	_	1.00	3.27		
Al	1.96	1.66	0.44	0.50	1.61		
P	3.89	4.15	5.06	3.73	4.22		
Fe	0.31	0.74	_	0.23	0.40		
Ni	_	0.55	_	_	0.09		
Sr	_	0.16	1.24	_	0.12		
Cs	_	0.05	_	1.57	0.10		
Ce	_	_	1.41	_	0.07		
Nd	_	_	1.19	_	0.07		
U	_	_	0.66	2.97	0.05		
O	15.05	16.08	19.77	20.62	15.76		

Таблица 1. Состав стекла и фаз после его девитрификации при обработке паром

Для анализа влияния осаждения продуктов выщелачивания Na—Al—P-стекла на изменение поверхности выщелачивания предложена следующая модель. Обозначим z глубину продвижения фронта растворения, а S — текущее значение поверхности фронта растворения. При продвижении фронта растворения на Δz произойдет выщелачивание массы образца $\rho_m S(z) \Delta z$, ρ_m — плотность стекла. Из этой массы часть перейдет в раствор, а часть продуктов выщелачивания массой δ_m осядет на поверхности образца. Изменение S за счет осаждения этих слаборастворимых продуктов выщелачивания удовлетворяет уравнению

$$S(z + \Delta z) - S(z) = -A\delta_m$$

где A — некоторый постоянный коэффициент.

Поскольку в течение всего описанного эксперимента по выщелачиванию, за исключением краткого начального периода, величины $\gamma_{\text{Al/Na}}$ и $\gamma_{\text{Al/P}}$ изменялись незначительно (рис. 2), в линейном приближении можно записать $\delta_m = \theta \rho_m S(z) \Delta z$, где $0 < \theta < 1$. Следовательно,

$$\frac{dS}{dz} = -A\theta \rho_m S, \quad z = 0, \quad S = S_0,$$

где S_0 — поверхность образца. Отсюда

$$S = S_0 \exp(-Bz), \tag{1}$$

где $B = A\theta \rho_m$.

Во всех экспериментах концентрации продуктов выщелачивания матрицы в растворе малы. Это позволяет предположить, что выщелачивание всех кристаллических фаз протекает независимо. Миграция продуктов растворения *i*-й фазы к исходной поверхности образца осуществляется

за счет диффузии через канал с переменным сечением $s_i(z)$ и удовлетворяет уравнению:

$$\frac{\partial C^{(i)}}{\partial t} = \frac{1}{s_i(z)} \frac{\partial}{\partial z} \left(D_i s_i(z) \frac{\partial C^{(i)}}{\partial z} \right), \tag{2}$$

где $C^{(i)}$ — локальная массовая концентрация продуктов выщелачивания i-й фазы, D_i — коэффициент молекулярной диффузии продуктов выщелачивания i-й фазы, $s_i(z)$ — площадь фронта выщелачивания при его смещении на расстояние z от исходной поверхности образца, t — время. Согласно (1), $s_i(z)$ можно представить в виде $s_i(z)$ = $S_m \sigma_i \exp(-b_i z)$, где S_m — исходная поверхность образца, σ_i , b_i — константы. Одна из фаз (№ 3 на рис. 1 и в табл. 1) представлена фосфатом РЗЭ со структурой монацита. Монацит практически не растворим в воде до 150° С, поэтому растворение этой фазы не учитывалось. Обозначим t_n время n-й замены раствора в автоклаве. При этом выполняется условие

$$t = t_n, \quad C^{(i)} \equiv 0. \tag{3}$$

Граничные условия для уравнения (2) запишутся в виде

$$z = 0$$
, $C^{(i)} = C_{v}^{(i)}$; $z = Z_{i}(t)$, $C^{(i)} = C_{\text{sat}}^{(i)}$, (4)

где $C_v^{(i)}$ — концентрация продуктов выщелачивания i-й фазы в объеме раствора, $C_{\rm sat}^{(i)}$ — концентрация насыщения продуктов выщелачивания i-й фазы в воде, $Z_i(t)$ — перемещение фронта выщелачивания i-й фазы за время t. Величины $C_v^{(i)}$ и $Z_i(t)$ определяются из соотношений [13]:

та по выщелачиванию								
Номер фазы	D_i , M^2/c	$C_{ m sat}^{(i)},$ безразм.	$\sigma_i,$ безразм.	<i>b_i</i> , 1/м				
1	3.3×10^{-11}	0.014	0.65	1.3×10^{4}				

0.017

 4.9×10^{-13}

Таблица 2. Параметры модели из данных эксперимента по вышелачиванию

$$\frac{\partial C_{v}^{(i)}}{\partial t} = \frac{\rho_{i} s \left[Z_{i}(t)\right]}{m} \frac{dZ_{i}}{dt},$$

$$\rho D_{i} \frac{\partial C^{(i)}}{\partial z} \left[t, Z_{i}(t)\right] = \rho_{i} \frac{dZ_{i}}{dt},$$
(5)

0.17

0.20

 0.73×10^{4}

 2.6×10^{4}

где ρ_i — плотность i-й фазы, ρ — плотность воды.

Уравнение (2) с начальными и граничными условиями (3), (4) и дополнительными соотношениями (5) полностью определяют задачу Стефана, если заданы параметры $\{C_{\rm sat}^{(i)},\ D_i,\ \sigma_i,\ b_i,\ i=1,\ ...,\ 4\}$. Их значения получены из условия:

$$\Phi = \sum_{n=1}^{4} \left[\frac{1}{C_{n,E}} \sum_{i=1}^{4} (1 - \delta_{i,3}) C_{v}^{(i)}(t_{n}) F_{i,E} - 1 \right]^{2} \rightarrow \min, (6)$$

где n — номер замены раствора в автоклаве, i — номер фазы, $\delta_{i,j}$ — символ Кронекера, $F_{i,E}$ — мас-

Массовая концентрация Na в растворе, г/г

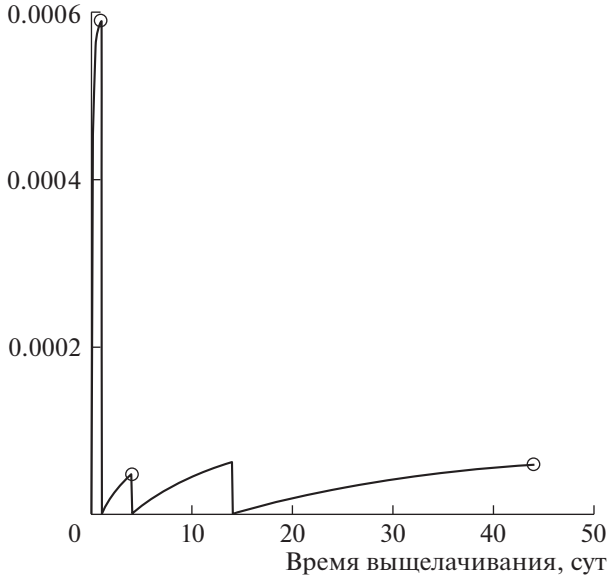


Рис. 3. Сравнение расчетных (линия) и измеренных (точки) концентраций Na в воде в опытах по растворению закристаллизованного Na—Al—P-стекла. Ступенчатое снижение концентрации до нуля соответствует замене раствора в автоклаве через интервалы времени 1, 3, 10 и 30 сут.

совое содержание такого элемента E в каркасе матрицы, который, во-первых, наиболее легко (по сравнению с другими элементами каркаса) переходит в раствор, а во-вторых, не осаждается при его диффузионном переносе от фронта выщелачивания до основного объема раствора в автоклаве. Из данных наших опытов по растворению девитрифицированных стекол следует, что таким элементом является Na [10]. Уравнение (2) интегрировалось полунеявным конечно-разностным методом с учетом соотношений (5) и условий (3) и (4) [14]. Минимум функции Ф определен модифицированным градиентным методом с контролем сходимости [15]. Полученные значения параметров даны в табл. 2, а вычисленные для них концентрации Na в растворе согласуются с измеренными в опытах по выщелачиванию (рис. 3). Полученные из решения задачи Стефана зависимости $Z_i(t)$ при этих параметрах с удовлетворительной точностью могут быть аппроксимированы степенными функциями вида $Z_i^0 t^{P_i}$ с показателями степени P_i от 0.4 до 0.7, что согласуется с решениями близких по постановке задач Стефана, приведенными в [13]. Эти зависимости имеют вид

$$Z_1 = 8.09 \times 10^{-4} t^{0.38}, \quad Z_2 = 3.36 \times 10^{-5} t^{0.58},$$

$$Z_4 = 3.36 \times 10^{-5} t^{0.7},$$
(7)

где $[Z_i] = M$; [t] = сут.

Общая масса i-й фазы, выщелачиваемая с единичной поверхности образца, определяется выражением

$$m_i(t) = \frac{\rho_i}{S_m} \int_0^{Z_i(t)} s_i(z) dz.$$

Тогда масса i-й фазы, выщелачиваемая в единицу времени с единичной поверхности раскристаллизованного Na—Al—P-стекла, вычисляется по формуле:

$$\frac{dm_i}{dt} = \rho_i \sigma_i \exp[-b_i Z_i(t)] \frac{dZ_i}{dt} = \rho_i \sigma_i \exp(-b_i Z_i^0 t^{P_i}) \frac{P_i Z_i^0}{t^{1-P_i}},$$

где значения Z_i^0 , P_i приведены в выражении (7), а параметры σ_i , b_i — в табл. 2.

Отсюда масса натрия, переходящая в раствор с единичной поверхности образца в единицу времени, вычисляется по формуле

$$\frac{dm_{\text{Na}}}{dt} = \sum_{i=1}^{4} F_{i,\text{Na}} \frac{dm_{i}}{dt} (1 - \delta_{i,3}) =
= \sum_{i=1}^{4} (1 - \delta_{i,3}) F_{i,\text{Na}} \rho_{i} \sigma_{i} \exp(-b_{i} Z_{i}^{0} t^{P_{i}}) \frac{P_{i} Z_{i}^{0}}{t^{1 - P_{i}}}.$$
(8)

Однако с точки зрения оценки защитных свойств матрицы большее значение имеет определение массы актинидов, поступающей в рас-

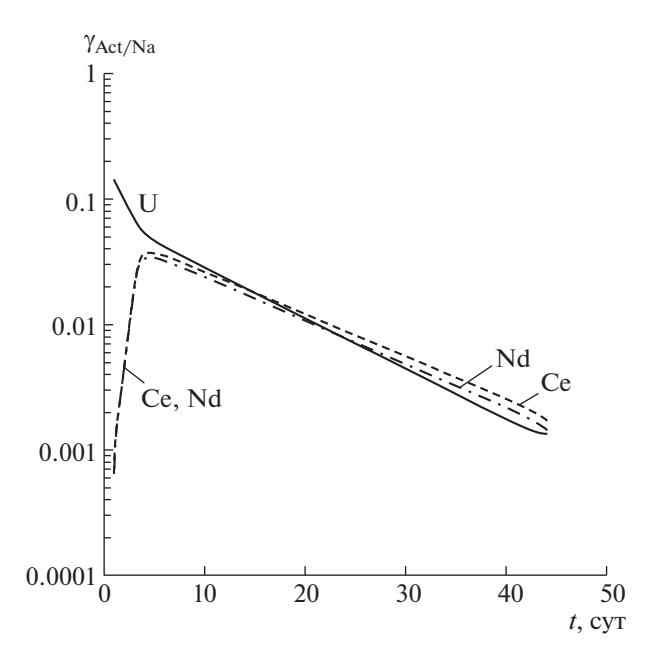


Рис. 4. Интенсивность выщелачивания U и имитаторов актинидов (Ce, Nd) по отношению к Na.

твор в единицу времени с единичной поверхности образца. В качестве их имитаторов в образец вводились радиоизотоп 238U и геохимические аналоги актинидов: Се и Nd. Интенсивность вышелачивания U. Се и Nd по отношению к интенсивности выщелачивания Na характеризуется параметрами $\gamma_{U/Na}$, $\gamma_{Ce/Na}$, $\gamma_{Nd/Na}$, зависящими от времени (рис. 4). Можно отметить, что за исключением сравнительно короткого начального периода графики всех трех зависимостей практически совпадают. Из табл. 1 следует, что U входит в состав третьей и четвертой фазы, а Ce и Nd – только в состав слаборастворимой третьей фазы. По-видимому, отклонение кривой $\gamma_{U/Na}(t)$ в начальный период времени обусловлено наличием в приповерхностном слое образца более растворимой четвертой фазы (пластинчатые кристаллы на рис. 1б). В дальнейшем переход U, Ce и Nd в раствор осуществляется только за счет частиц третьей фазы, о чем убедительно свидетельствует совпадение всех трех кривых на рис. 4. Для всех трех имитаторов актинидов зависимости $\gamma_{\text{Act/Na}}(t)$ (где Act = U, Ce, Nd) вне начального интервала времени с хорошей точностью аппроксимируются функцией

$$\gamma_{\text{Act/Na}}(t) \cong 0.0495 \exp(-0.076t),$$
 (9)

где [t] = сут.

Таким образом, массу актинида Act, переходящую в раствор с единичной поверхности в единицу времени, можно оценить по определению $\gamma_{Act/Na}$ как

$$\frac{dm_{\rm Act}}{dt} = \frac{dm_{\rm Na}}{dt} \frac{F_{\rm Act}}{F_{\rm Na}} \gamma_{\rm Act/Na},$$

где $dm_{
m Na}/dt$ и $\gamma_{
m Act/Na}$ вычисляются по формулам (8) и (9).

Данная модель может быть использована для анализа долговременной устойчивости раскристаллизованных алюмофосфатных матриц в отношении основных элементов каркаса стекла (Na, Al, P), а также для оценки интенсивности выноса из нее элементов отходов, в том числе радионуклидов.

ИСТОЧНИКИ ФИНАНСИРОВАНИЯ

Исследование выполнено в рамках темы НИР государственного задания ИГЕМ РАН. Состав растворов определен в центре коллективного пользования "ИГЕМ РАН — Аналитика".

СПИСОК ЛИТЕРАТУРЫ

- 1. Копырин А.А., Карелин А.И., Карелин В.А. Технология производства и радиохимической переработки ядерного топлива: М.: Атомэнергоиздат, 2006. 576 с.
- End Points for Spent Nuclear Fuel and High-level Radioactive Waste in Russia and the United States / Committee on End Points for Spent Nuclear Fuel and High-Level Radioactive Waste in Russia and the United States. Washington: National Academies Press. 2003. 137 p.
- 3. Laverov N., Yudintsev S., Kochkin B., Malkovsky V. // Elements. 2016. V. 12. P. 253–256.
- 4. Вашман А.А., Демин А.В., Крылова Н.В., Кушников В.В., Матюнин Ю.И., Полуэктов П.П., Поляков А.С., Тетерин Э.Г. Фосфатные стекла с радиоактивными отходами / Под ред. А.А. Вашмана, А.С. Полякова. М.: ЦНИИатоминформ, 1997. 172 с.
- Donald I.W., Metcalfe B.L., Taylor R.N.J. // Journ. of materials science. 1997. V. 32. P. 5851–5887.
- Nuclear Waste Conditioning. A Nuclear Energy Division Monograph. Ed. by Jean-François Parisot. Gifsur-Yvette: Commissariat à l'énergie atomique, 2009. 151 p.
- 7. Abdelouas A., Neeway J., Grambow B. // In: Springer Handbook of Glass. Musgraves J.D., Hu J., and Calvez L. (Eds.). Switzerland AG: Springer Nature. 2019. Chapter 12.
- Александрова Е.В., Мальковский В.И., Юдинцев С.В. // ДАН. 2018. Т. 482. № 6. С. 693–696.
- 9. Bates J.K., Seitz M.G., Steindler M.J. // Nucl. and Chem. Waste Managem. 1984. V. 5. P. 63–73.
- 10. Malkovsky V.I., Yudintsev S.V., Aleksandrova E.V. // Journ. of Nuclear Materials. 2018. V. 508. P. 212—218.
- 11. *Diomidis N., Johnson L.H.* // JOM. 2014. V. 66. Iss. 3. P. 461–470.

- 12. Rebiscoul D., Frugier P., Gin S., Ayral A. // Journ. of Nuclear Materials. 2005. V. 342. P. 26–34.
- 13. *Carslaw H.S., Jaeger J.C.* Conduction of Heat in Solids, 2d ed. Oxford: Clarendon Press, 1959. 510 p.
- 14. *Roache P.J.* Computational Fluid Dynamics. Albuquerque: Hermosa Publishers, 1976. 446 p.
- 15. Gill P.E., Murray W., Wright M.H. Practical optimization. London: Academic Press: 1981. 401 p.

MODEL OF LEACHING OF "AGED" SODIUM-ALUMINOPHOSPHATE VITREOUS WASTE FORMS OF RADIONUCLIDES

V. I. Malkovsky^{a,#} and Correspondent-Member of the RAS S. V. Yudintsev^a

^a Institute of Geology of Ore Deposits, Petrography, Mineralogy, and Geochemistry, Russian Academy of Sciences, Moscow, Russian Federation

#E-mail: malkovsky@inbox.ru

High-level radioactive waste of nuclear power engineering are vitrified for removal to deep underground repositories. Radionuclides decay leads to heating and crystallization of the vitrified waste with a deterioration of their ability to retain hazardous components. A model of dissolution of crystallized Na–Al–P-glass in water is developed taking into account experimental data. The model is destined for prediction of waste form behavior in the repository.

Keywords: nuclear power engineering, radioactive waste, isolation, vitreous waste form, crystallization, stability forecast, theoretical model of destruction

2021